

## مطالعه عددی و آزمایشگاهی تاثیر رقیق‌ساز $N_2$ بر تشکیل آلاینده $NO_x$ در شعله پیش‌آمیخته متان- هوا

محمد محمودی آریا\* و حمید ممهدی هروی\*\*

دانشگاه آزاد اسلامی مشهد، دانشکده فنی و مهندسی، گروه مکانیک

(دریافت: ۱۳۸۹/۵/۲۱، پذیرش: ۱۳۸۹/۵/۲۱)

رقیق‌سازی به عنوان یکی از روش‌های کاهش دمای بیشینه محفظه احتراق محسوب می‌شود که سبب کاهش تشکیل  $NO$  گرمایی می‌شود. روش‌های کنترل تشکیل  $NO_x$  همگی بر اساس کنترل دما و یا محدود کردن غلظت اکسیژن استوار است. در تحقیق حاضر، هدف مطالعه عددی و آزمایشگاهی تاثیر رقیق‌ساز  $N_2$  بر روی تشکیل آلاینده  $NO_x$  در شعله پیش‌آمیخته متان- هوا در محفظه احتراق است. نتایج آزمایشگاهی با ساخت کوره‌ای با محفظه احتراق استوانه‌ای که دارای تقارن محوری است به دست آمدند. آزمایش‌ها برای نسبت‌های هم‌ارزی  $0.7/0.7/1/3$  و نسبت‌های مختلف رقیق‌سازی انجام شده است. شبیه‌سازی احتراق به وسیله زیربرنامه PREMIX نرم‌افزار CHEMKIN II و با استفاده از نسبت‌های مختلف رقیق‌ساز  $N_2$  و در محدوده‌ای از نسبت‌های هم‌ارزی بررسی شده است. نتایج آزمایشگاهی و شبیه‌سازی نشان می‌دهند که با افزایش نسبت رقیق‌سازی دمای بیشینه شعله و انتشار آلاینده  $NO$  از محفظه احتراق کاهش می‌یابند. همچنین نتایج آزمایشگاهی و شبیه‌سازی حاضر تأتفق خوبی را نشان می‌دهند و روند نتایج به دست آمده با نتایج آزمایشگاهی نیازکوف و همکاران مطابقت دارد.

واژگان کلیدی:  $NO_x$ ، رقیق‌سازی، شبیه‌سازی، آزمایشگاهی، پیش‌آمیخته

### مقدمه

احتراق سوخت‌های فسیلی منجر به آلودگی قابل ملاحظه‌ای شده است و یکی از عوامل اصلی گرم شدن زمین محسوب می‌شود که دلیل این امر انتشار آلاینده‌هایی از قبیل  $NO_x$ ،  $SO_x$ ،  $CO$  و  $CO_2$  است [۱]. هنگامی که سوخت‌های فسیلی از قبیل گاز طبیعی یا نفت و ترکیبات مشتق شده از آن‌ها در هوا می‌سوزند، محصولات اکسیداسیون شامل  $CO$ ،  $CO_2$  و  $H_2O$  هستند، به علاوه مولکول نیتروژن موجود در هوا با برخی از مولکول‌های اکسیژن موجود در آن واکنش داده و اکسیدهای نیتروژن شکل می‌گیرند [۲]. اکسیدهای نیتروژن شامل اکسید نیتریک ( $NO$ )، دی‌اکسید نیتروژن ( $NO_2$ ) و اکسید نیتروس ( $N_2O$ ) هستند که  $NO$  و  $NO_2$  به عنوان  $NO_x$  شناخته می‌شوند [۳].  $NO$  تولید شده از مولکول نیتروژن و اکسیژن موجود در هوا،  $NO$  گرمایی (زلدویج) و  $NO_2$  تولید شده از مولکول نیتروژن موجود در سوخت،  $NO$  سوخت نامیده می‌شود. غلظت  $NO$  در نزدیکی ناحیه شعله برای سوخت‌های هیدروکربنی وابستگی کمتری به دما دارد و رادیکال‌هایی مانند  $O$  و  $OH$  به تشکیل  $NO$  کمک می‌کنند. بنابراین، بخشی از  $NO$  علی‌رغم کنترل دمای شعله و غلظت اکسیژن شکل می‌گیرد که به آن  $NO$  فوری (Prompt) می‌گفته می‌شود [۴ و ۵].

گاز طبیعی به عنوان سوختی که احتراق آن انتشار آلاینده کمتری را در پی دارد، از تمیزترین سوخت‌ها محسوب می‌شود (به دلیل کسر مولی پایین‌تر کربن نسبت به هیدروژن)، که دلیل این امر ساختار شیمیایی ساده و عدم مشکل تبخیر سوخت است.

\* دانشجویی کارشناسی ارشد (ایمیل: Mohammad.Arya62@Gmail.com)

\*\* استادیار- نویسنده مخاطب (ایمیل: Heravihm@mshdiau.ac.ir)

اعمال رقیق‌سازی به عنوان یک خط‌مشی جهت دستیابی به انتشار  $\text{NO}_x$  کمتر در بسیاری از مقالات مورد بررسی و آزمایش قرار گرفته است. این اصل بر گسترش حدود اشتعال پذیری به سمت شرایط رقیق‌سوز استوار است که کاهش قابل توجه اکسیدهای نیتروژن را به همراه دارد [۶-۸]. احتراق پیش‌آمیخته رقیق‌سوز بسیار مورد توجه قرار گرفته است، زیرا باعث پایین آمدن دمای شعله و درنتیجه انتشار  $\text{NO}_x$  کمتر می‌شود، هرچند در نزدیکی حدود اشتعال پذیری رقیق‌سوز، پایداری شعله کم شده و پدیده خاموشی ممکن است اتفاق بیفتد. به علاوه شعله‌های رقیق‌سوز ممکن است منجر به مشکلاتی از قبیل خاموشی، بازده احتراق پایین و غلظت‌های بالاتر مونوکسید کربن (CO) شوند، که یک راه حل عملی برای غلبه بر این مشکلات، افزودن سوخت‌های واکنش‌پذیر مانند هیدروژن است [۹-۱۱].

از بین اکسیدهای مختلف نیتروژن، NO و  $\text{NO}_2$ ، به لحاظ اثرات سوء بر سلامت انسان و  $\text{N}_2\text{O}$  به عنوان گاز گلخانه‌ای در گرمایش زمین اهمیت دارند.  $\text{NO}_x$  ابتدا به صورت NO در جریان احتراق از ترکیب نیتروژن و اکسیژن هوا در دمای بالا و به ویژه در موتورهای احتراق داخلی و کوره‌ها تشکیل می‌شود و پس از ورود به هوا به سرعت تبدیل به  $\text{NO}_2$  می‌شود [۱۲]. چون کوره‌های صنعتی (از قبیل دیگر بخارهای نیروگاهی) اغلب تحت شرایط پراکسیژن کار می‌کنند (محدوده نسبت‌های هم‌ارزی  $0/8$  تا  $0/9$ )، شرایط برای تولید NO فوری فراهم نبوده و به این دلیل است که سوخت‌های گازی حاوی نیتروژن نیستند، NO سوخت نیز تشکیل نمی‌شود و درنتیجه NO گرمایی تولید می‌شود [۱۳]. در رابطه (۱)، واکنش‌های تشکیل NO زلدویچ دیده می‌شود:



این واکنش‌ها به عنوان واکنش‌های تشکیل NO گرمایی نیز شناخته می‌شوند، زیرا واکنش اول به دلیل پیوند سه‌گانه قوی در مولکول  $\text{N}_2$  دارای انرژی فعالسازی بسیار بالایی است، بنابراین فقط در دماهای بالا واکنش سریع انجام می‌گیرد، در غیر اینصورت واکنش اول، محدود کننده تشکیل NO گرمایی است. برای محاسبه غلظت NO گرمایی از رابطه (۲) استفاده می‌شود [۱۳]:

$$[NO] = K_1 \exp\left(\frac{-K_2}{T}\right) [N_2] [O_2]^{\frac{1}{2}} \cdot t \quad (2)$$

در این رابطه،  $K_1$  و  $K_2$  ثابت‌های سینتیکی واکنش،  $t$  زمان و T دماست، همچنین کروشه نشان دهنده غلظت است. به دلیل اینکه دمای بالای شعله سبب شکستن پیوند سه‌گانه مولکول نیتروژن موجود در هوا و ترکیب آن با اکسیژن موجود در آن می‌شود، تولید NO گرمایی به شدت به دما حساس است. در معادله تشکیل NO، دما به صورت تابعی نمایی نقش دارد و از آنجا که در دماهای بالاتر از K 1700 به ازای هر  $40^\circ\text{C}$  درجه افزایش دما، تولید NO دو برابر می‌شود و همچنین به دلیل انرژی فعالسازی بالای سازوکار تشکیل NO، اگر روشی موجب کاهش دمای شعله شود، عاملی موثر جهت کاهش تشکیل  $\text{NO}_x$  است [۱۴ و ۱۵].

رقیق‌سازی روشنی است که با افزودن یک رقیق‌کننده که ظرفیت گرمایی بالایی دارد، ظرفیت گرمایی مخلوط را زیاد کرده و با افزایش توانایی جذب گرما از کوره دمای محفظه احتراق را کاهش می‌دهد و در نتیجه باعث کاهش انتشار آلاینده  $\text{NO}_x$  می‌شود [۱۶]. از جمله رقیق‌کننده‌هایی که سبب رقیق‌سازی مخلوط سوخت و هوا و کاهش غلظت اکسیژن می‌شوند عبارت‌اند از  $\text{CO}_2$ ,  $\text{N}_2$  و  $\text{H}_2\text{O}$  که ظرفیت گرمایی بالای این گونه‌ها سبب افزایش ظرفیت گرمایی مخلوط، جذب گرمایی ناشی از احتراق و در نتیجه کاهش دمای شعله و  $\text{NO}_x$  تولیدی می‌شود [۱۷]. رقیق‌کننده‌های دیگر مورد استفاده عبارت‌اند از  $\text{H}_2$ , CO, Ar, He و حتی NO، که هریک به نحوی منجر به کاهش انتشار آلاینده  $\text{NO}_x$  می‌شوند [۱۶ و ۱۷].

پژوهش‌های زیادی در زمینه رقیق‌سازی صورت گرفته است. دالی و همکارانش [۱۸] در سال ۲۰۰۴ در دانشگاه آدلاید استرالیا، تحقیقاتی را بر روی رقیق‌سازی احتراق با  $\text{CO}_2$  و  $\text{N}_2$  انجام دادند. کوره طراحی شده یک محفظه به ابعاد ۲۵۰ در ۲۵۰ میلی‌متر و ارتفاع ۴۸۵ میلی‌متر است که شش پنجره از جنس کوارتز برای مشاهده شعله تعییه شده است. با طراحی یک مبدل گرمایی از گرمای گازهای خروجی برای گرم کردن هوای ورودی استفاده شده است. برای اندازه‌گیری دما در محور مرکزی کوره از ترموکوبیل نوع K و برای آنالیز گازهای خروجی ( $\text{NO}_x$ )، از دستگاه آنالیزور گاز مدل Testo 300 M استفاده شده است. نتایج این تحقیقات نشان داد که رقیق‌سازی با  $\text{N}_2$  و  $\text{CO}_2$ ، انتشار  $\text{NO}_x$  را کاهش داده و باعث می‌شود که شعله در داخل کوره نامرئی به نظر آید. همچنین رقیق‌سازی با گازهای بی‌اثر از طریق جریان سوخت باعث می‌شود کسر مخلوط استوکیومتریک به سمت ناحیه پرسوخت منتقل شود که همین امر باعث کاهش انتشار  $\text{NO}_x$  می‌شود.

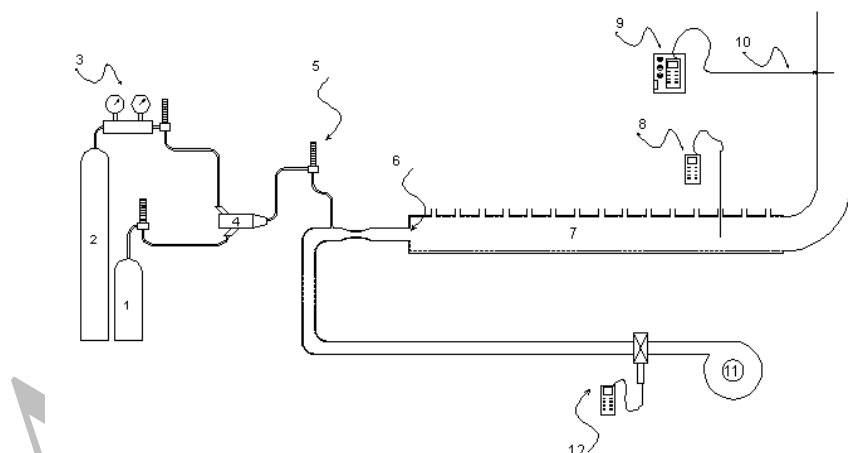
در سال ۲۰۰۴ سال‌آوار و همکارانش [۱۹]، بر روی رقیق‌سازی گاز طبیعی با  $\text{N}_2$  تحقیقاتی را انجام دادند. سطح مقطع کوره طراحی شده ۳۶۰ × ۳۶۰ میلی‌متر بوده و طول آن ۳ متر در نظر گرفته شده است. نتایج به دست آمده نشان می‌دهد که افزودن  $\text{N}_2$ ، حدود ۶۰ درصد میزان انتشار  $\text{NO}_x$  را کم می‌کند. کاهش  $\text{NO}_x$  را می‌توان این گونه توضیح داد که افزایش  $\text{N}_2$  باعث کاهش دمای شعله بی‌درر (Adiabatic) شده و موجب کاهش کسر جرمی موضعی  $\text{CH}_4$  در هر منطقه در داخل مشعل می‌شود. در سال ۲۰۰۵ چو و همکارانش [۲۰] در دانشگاه ملی سؤول، بر روی رقیق‌سازی با  $\text{CO}_2$  و  $\text{N}_2$  تحقیقاتی انجام دادند. نتایج نشان داد که، رقیق‌ساز  $\text{CO}_2$  به دلیل داشتن ظرفیت گرمایی بالاتر در مقایسه با  $\text{N}_2$  در کاهش  $\text{NO}_x$  موثرتر است. کوره استفاده شده در این آزمایش یک محفظه به ابعاد ۲۵۰ × ۲۵۰ × ۲۵۰ میلی‌متر است که به ضخامت ۲۵ میلی‌متر عایق‌بندی شده است. در سال ۲۰۰۶، دانیل ای گیلس و همکارانش [۲۱] در دانشگاه ملی سؤول، بر روی رقیق‌سازی مخلوط‌های گازی  $\text{CO} / \text{H}_2 / \text{CO}_2 / \text{CH}_4$  و  $\text{NO}_x$  تحقیقاتی را انجام دادند. کارامدی این رقیق‌کننده‌ها بر حسب توانایی آن‌ها در کاهش انتشار آلاینده  $\text{NO}_x$  از شعله‌های مخلوط گازی مشخص می‌شود. نتایج به دست آمده نشان می‌دهد که در حالی که هر سه رقیق‌کننده، عموماً در کاهش انتشار آلاینده  $\text{NO}_x$  از شعله‌های این مخلوط‌های گازی کارامدند، اما  $\text{CO}_2$  و  $\text{H}_2\text{O}$  در مقایسه با  $\text{N}_2$  رقیق‌کننده موثرتری اند که ناشی از این حقیقت است که جریان هوا با رقیق‌سازهای  $\text{CO}_2$  و  $\text{H}_2\text{O}$  منجر به کاهش بیشتر دمای شعله و غلظت گونه‌های رادیکالی مهم از قبیل  $\text{O}_2$ ،  $\text{H}_2$  و  $\text{CH}$  می‌شود. همچنین مخصوص شد که بر حسب جرم،  $\text{H}_2\text{O}$  رقیق‌کننده کارامدتری نسبت به  $\text{CO}_2$  و  $\text{N}_2$  در کاهش انتشار آلاینده  $\text{NO}_x$  در این مخلوط‌های گازی به حساب می‌آید. شبیه‌سازی احتراق نیز توسط زیربرنامه (Opposed flow diffusion flames) از نرم‌افزار CHEMKIN II صورت گرفته که صحت نتایج به دست آمده را تایید می‌کند.

تحقیقات انجام شده توسط پراتاپ و همکارانش [۲۲] در سال ۲۰۰۸ در انسٹیتو تکنولوژی هند، بر روی تاثیر رقیق‌سازی با نیتروژن بر سرعت شعله آرام و پایداری شعله نشان می‌دهد که رقیق‌سازی با نیتروژن منجر به کاهش سرعت شعله آرام شده (به دلیل کاهش ضریب پخش گرمایی) و با افزایش ظرفیت گرمایی مخلوط گازهای سوخته و در نتیجه کاهش دمای شعله کاهش اتلافات گرما را در پی دارد. محفظه احتراق طراحی شده استوانه‌ای شکل بوده و دارای حجم ۴۰ لیتر است و قابلیت تحمل فشار تا ۱۰۰ بار را دارد. پنجره‌هایی از جنس کوارتز جهت مشاهده شعله نیز تعییه شده است. از زیربرنامه PREMIX نرم‌افزار CHEMKIN II برای شبیه‌سازی احتراق استفاده شده است.

در تحقیقات صورت گرفته، آزمایش‌ها بر روی دامنه محدودی از نسبت‌های همارزی و رقیق‌سازی انجام شده‌اند از این‌رو تحقیق حاضر به منظور بررسی تاثیر رقیق‌سازی بر تشکیل آلاینده  $\text{NO}_x$  در احتراق پیش‌آمیخته متان-هوای رقیق‌شده با رقیق‌ساز  $\text{N}_2$ ، در محدوده وسیع‌تری از نسبت‌های همارزی و رقیق‌سازی انجام شده است. به منظور تعیین میزان اثربخشی رقیق‌سازی بر انتشار آلاینده  $\text{NO}_x$ ، از یک کوره آزمایشگاهی که به همین منظور طراحی و ساخته شده، استفاده شده است. شبیه‌سازی رایانه‌ای نیز توسط زیربرنامه PREMIX از نرم‌افزار CHEMKIN II انجام شده است.

## دستگاه آزمایشگاهی

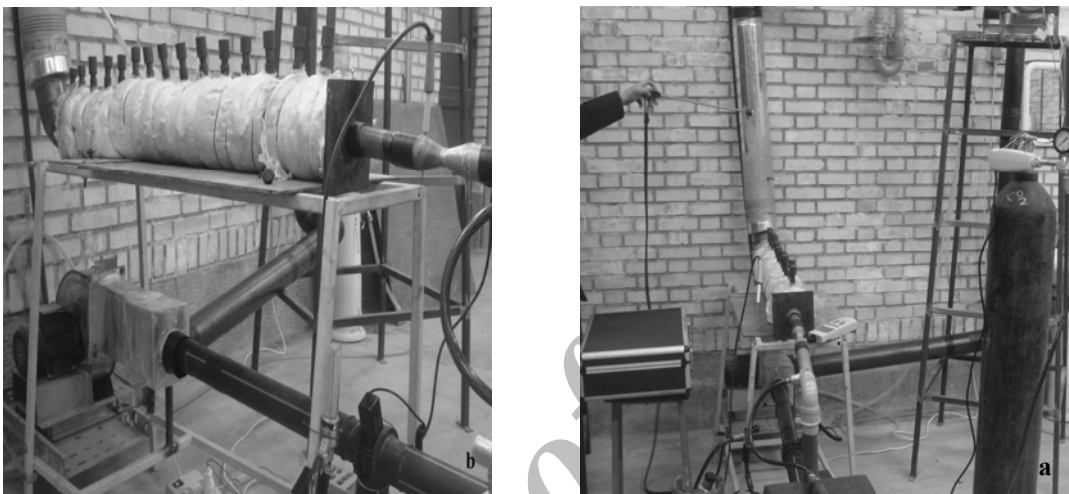
برای انجام آزمایش‌ها به منظور بررسی تاثیر رقیق‌سازی بر تشکیل آلاینده  $\text{NO}_x$ ، کوره‌ای بدین منظور طراحی و ساخته شد. بدنی اصلی محفظه احتراق را لوله فولادی AISI 316 توانی به قطر ۱۰۵ میلی‌متر و طول ۱۰۰۰ میلی‌متر تشکیل می‌دهد که قابلیت تحمل دماهای بالا را دارد. هوای مورد نیاز برای احتراق در نسبت‌های مختلف همارزی توسط فن هوا که دریچه‌ای به منظور تغییر در میزان دبی هوای ورودی ببروی آن تعییه شده است، تامین می‌شود. سوخت و رقیق‌کننده پس از اختلاط در کلکتور (Collector)، با هوای ورودی مخلوط شده و به منظور اختلاط بهتر وارد یک ونتوری می‌شود و سپس از طریق لوله‌ای به قطر ۳۵ میلی‌متر وارد محفظه احتراق شده و با ایجاد جرقه، احتراق صورت می‌گیرد. محفظه احتراق از عایق پنبه هندی ۱۲۶۰ و پارچه نسوز به ضخامت ۱/۵ سانتی‌متر پوشیده شده است. برای اندازه‌گیری دما در نقاط انتهایی کوره و همچنین مشاهده شعله، ۱۵ روزه به قطر ۲ سانتی‌متر و به فاصله ۷ سانتی‌متر از هم در بالای بدنی محفظه احتراق تعییه شده است. همچنین وجود ونتوری در مسیر ورودی مخلوط پیش‌آمیخته متان- هوای سبب جلوگیری از پس‌زنی احتمالی شعله خواهد شد. جهت اختلاط بهتر سوخت و رقیق‌کننده، از یک کلکتور استفاده شده است. دبی سوخت و رقیق‌کننده قبل از ورود به کلکتور اندازه‌گیری شده و سپس وارد آن می‌شوند. با طراحی کلکتورهای مختلف به منظور به حداقل رساندن اتفاقات، کلکتور بهینه طراحی شد که در آن طول لوله‌های اتصال کوتاه در نظر گرفته شده و ورودی سوخت و رقیق‌کننده تحت زاویه ۴۵ درجه وارد کلکتور می‌شوند. طرحواره کوره طراحی شده و تجهیزات جانبی آن در شکل (۱) دیده می‌شود. شکل (۲)، نمای کلی از کوره و تجهیزات جانبی استفاده شده را نشان می‌دهد.



شکل ۱- قسمت آزمایش: ۱- مخزن سوخت -۲- مخزن رقیق ساز -۳- فشارسنج -۴- کلکتور -۵- ورودی سوخت و هوای -۶- محفوظه احتراق -۷- ترمومکوپل -۹- آنالیزور گاز -۱۰- میله اندازه گیری -۱۱- فن هوا -۱۲- دبی سنج

برای کاهش فشار داخل کپسول ازت و رساندن فشار آن از ۱۴۰ بار به فشار مطلوب، از فشارسنج MORRIS، که قابلیت تحمل ۲۰۰ بار فشار ورودی را داشته و توان کاهش فشار تا ۱ بار را دارد استفاده شده است تا با فشار سوخت اصلی هم‌فشار شود. مقدار گونه‌های شیمیایی موجود در گازهای خروجی که آلاینده  $\text{NO}_x$  ( $\text{NO}$  و  $\text{NO}_2$ ) هم جزئی از آن است توسط دستگاه آنالیز گاز مدل Testo 350 XL (که محدوده اندازه گیری  $\text{NO}_x$  ppm تا ۳۰۰۰ ppm است) با قرار دادن حسگر مربوط در لوله دودکش اندازه گیری می‌شود. همچنین دستگاه آنالیز گاز قابلیت محاسبه و نمایش بازده احتراق را نیز دارد. دقت اندازه گیری‌های انجام شده ppm ± ۵ برای غلظت‌های کمتر از ۱۰۰ ppm است. برای اندازه گیری دبی هوا از دستگاه دبی‌سنج

Lutron YK-2005AM و برای اندازه‌گیری دبی سوخت ورودی از روتامتر SWPF-06A که قابلیت اندازه‌گیری دبی حجمی سوخت صفر تا ۴۰ lit/min را دارد، استفاده شده است. دقت سرعت‌های اندازه‌گیری شده توسط دستگاه دبی‌سنج  $0/0.5 \sim 0/1$  m/sec و دقت دبی‌های اندازه‌گیری شده توسط روتامتر  $0/0.2 \pm 0/0.2$  lit/min است. همچنین دبی‌سنج قابلیت نشان دادن دما با اتصال به حسگر مربوطه را دارد. برای اندازه‌گیری دما از حسگر نوع K که قابلیت اندازه‌گیری دما تا ۱۳۰۰ درجه کلوین را دارد استفاده شده است. تمامی تجهیزات پیش از انجام آزمایش کالیبره شده تا از بروز خطای احتمالی در داده‌های آزمایشگاهی به دست آمده تا حد امکان جلوگیری شود.



شکل ۲- نمای کلی قسمت آزمایش؛ (a) نمای کامل، (b) محفظه احتراق

### میزان خطا در داده‌های آزمایشگاهی

صرف‌نظر از دقت آزمایش، به دلایل مختلف ممکن است در جمع آوری داده‌های تجربی خطا وجود داشته باشد. بعضی از این خطاها از نوع تصادفی هستند و بعضی به دلیل بروز اشتباه حین انجام آزمایش به وجود می‌آیند. داده‌های غلط حاصل از اشتباهات واضح بلافضله قابل شناسایی بوده و کنار گذاشته شده‌اند. ولی در مورد داده‌هایی که مشکوک هستند به سادگی نمی‌توان تشخیص داد. بنابراین جهت تشخیص این خطاها، از تحلیل عدم قطعیت داده‌های تجربی که به روش آماری صورت گرفته، استفاده شده است. عدم قطعیت یا مقدار احتمالی خطا بسته به شرایط آزمایش ممکن است به مقدار زیادی تغییر کند. خطاها ثابت و تصادفی خطاها نیز هستند که ممکن است در یک اندازه‌گیری تجربی سبب عدم قطعیت شوند. عموماً خطاها ثابت با کالیبره کردن وسایل اندازه‌گیری از بین می‌روند ولی خطاها تصادفی از طریق تحلیل آماری شناسایی می‌شوند. در این پژوهش، ابتدا برای هر نقطه، چهار داده آزمایشگاهی جمع آوری شده و سپس میانگین حسابی داده‌ها محاسبه و به عنوان داده نهایی آزمایشگاهی استفاده شده است. مقدار خطای احتمالی یا عدم قطعیت داده‌ها از فرمول زیر محاسبه شده است:

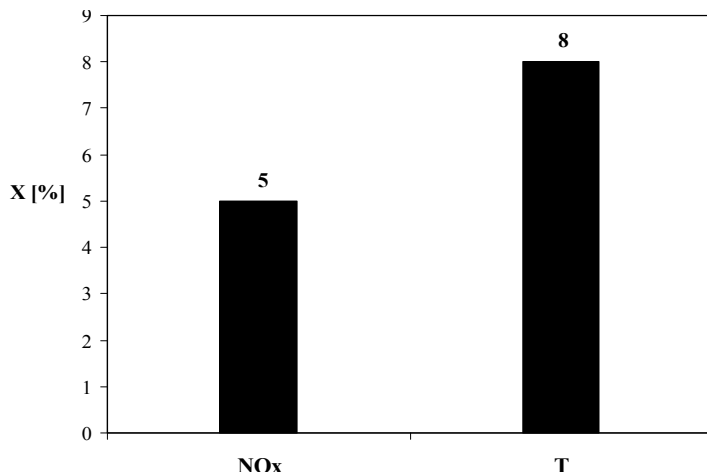
$$\sigma_m = \frac{\sigma}{n^{0.5}} \quad (3)$$

در این فرمول،  $\sigma_m$  انحراف معیار مقدار میانگین و  $\sigma$  انحراف معیار مجموعه اندازه‌گیری‌ها و  $n$  تعداد اندازه‌گیری‌ها در هر نقطه است. برای کلیه نتایج تجربی که برای تاثیر رقیق‌کننده  $N_2$  به محفظه احتراق انجام شده است،  $n = 4$  است.

مقدار درصد عدم قطعیت داده‌های آزمایشگاهی، ( $X$ )، از رابطه زیر محاسبه شده است:

$$X \% = \frac{\sigma_m}{\bar{x}} \times 100 \quad (4)$$

که در آن  $\bar{x}$  مقدار میانگین حسابی داده‌های آزمایشگاهی است. در شکل (۳) مقدار میانگین عدم قطعیت داده‌های آزمایشگاهی در خروجی کوره نشان داده شده است.



شکل ۳- مقادیر میانگین عدم قطعیت برای  $\text{NO}_x$  در خروجی و دما در فاصله ۶۰۰ میلی‌متر از ابتدای محفظه احتراق در شعله متان- هوای رقیق شده با  $\text{N}_2$  در محدوده‌ای از نسبت‌های مختلف هم‌ارزی و رقیق‌سازی

### شبیه سازی عددی

در مطالعه حاضر به منظور بررسی تاثیر رقیق‌سازی بر آلاینده  $\text{NO}_x$  تولیدی شعله پیش‌آمیخته متan- هوای از زیربرنامه نرم‌افزار [۲۳] CHEMKIN II استفاده شده است. زیربرنامه PREMIX برنامه‌ای به زبان فرتون است که برای مدلسازی شعله آرام پیش‌آمیخته یک بعدی به کار می‌رود. این زیربرنامه از یک روش ترکیبی حالت پایدار و وابسته به زمان استفاده می‌کند [۲۴]. برای احتراق متان از سازوکار تفصیلی GRI-MECH 3.0 [۲۵] استفاده شده است که شامل ۵۳ گونه شیمیایی و ۳۲۵ واکنش است.

معادلات حاکم در حالت یک بعدی، توسط معادلات زیر بیان می‌شوند [۲۶-۲۸]:

معادله پیوستگی:

$$\dot{M} = \rho u A \quad (5)$$

معادله بقای انرژی:

$$\dot{M} \frac{dT}{dx} - \frac{1}{C_p} \frac{d}{dx} (\lambda A \frac{dT}{dx}) + \frac{A}{C_p} \sum_{k=1}^K \rho Y_k V_k C_{pk} \frac{dT}{dx} + \frac{A}{C_p} \sum_{k=1}^K \dot{\omega}_k h_k W_k = 0 \quad (6)$$

بقای گونه:

$$\dot{M} \frac{dY_k}{dx} + \frac{d}{dx} (\rho A Y_k V_k) - A \dot{\omega}_k W_k = 0 \quad (k = 0, 1, \dots, K) \quad (7)$$

معادله حالت:

$$\rho = \frac{P \bar{W}}{RT} \quad (8)$$

در این معادلات،  $x$  مختصه سیستم انتخابی،  $\dot{M}$  دبی جرمی،  $T$  دما،  $Y_k$  کسر جرمی گونه k ام،  $P$  فشار،  $u$  سرعت مخلوط سیال،  $\rho$  چگالی،  $W_k$  جرم مولکولی گونه k ام،  $\bar{W}$  جرم مولکولی متوسط مخلوط،  $R$  ثابت جهانی گازها،  $\lambda$  ضریب هدایت مخلوط،  $C_p$  ظرفیت گرمایی مخلوط در فشار ثابت،  $C_{pk}$  ظرفیت گرمایی در فشار ثابت برای گونه k ام،  $\omega_k$  نرخ مolar تولیدی توسط گونه k ام در واکنش‌های شیمیایی بر واحد حجم،  $h_k$  انثالپی مخصوص گونه k ام،  $V_k$  سرعت پخش گونه k ام و A سطح مقطع ایجاد شده توسط شعله که در پیش‌فرض ثابت و برابر واحد در نظر گرفته شده است.

فرایند حل عددی با روش تخمین تفاضل محدود به منظور تولید مقادیر مرزی مسئله شروع می‌شود و به سیستم معادلات جبری تبدیل می‌شود. تخمین‌های اولیه معمولاً روی یک شبکه، با شبکه محاسباتی خیلی درشت صورت می‌گیرد که ممکن است فقط شامل ۵ یا ۶ نقطه باشد. بعد از به دست آوردن حل روی شبکه محاسباتی درشت، نقاط شبکه محاسباتی جدید در نواحی‌ای که حل یا گرادیان آن تغییرات ناگهانی داشتند، اضافه می‌شود [۲۳ و ۲۹]. حال با یک حدس جدید برای حل شبکه، شبکه محاسباتی ظرفیتر که درون شبکه محاسباتی درشت جا داده شده است اعمال می‌شود. این فرایند تا زمانی که نقاط شبکه محاسباتی جدید برای حل مسئله مورد نیاز نباشد، تکرار می‌شود. به عبارتی دیگر خطای بین دو حل متوالی از مقدار تعیین شده کمتر باشد.

مشخصات شبکه محاسباتی در این شبیه‌سازی GRAD=۰/۸ (GRAD) متغیر توافقی که تعداد شبکه و نقاط درون نواحی با گرادیان بالا را کنترل می‌کند و مقادیر کمتر آن سبب می‌شود نقاط بیشتر شبکه مورد استفاده قرار گیرند) و CURV=۰/۸ (متغیر توافقی شبکه که شبکه و نقاط درون نواحی با انحنای بالا را کنترل می‌کند و مقادیر کم آن سبب می‌شود نقاط بیشتر شبکه مورد استفاده قرار گیرند) است. معیارهای خطای نسبی و مطلق (برای تکرار نهایی حل نیوتن) به ترتیب RTOL=1E-4 و ATOL=1E-9 است. با توجه به نسبت‌های مختلف رقیق‌ساز  $N_2$  که از صفر تا ۲/۰ متغیر است، کسرهای مولی در ورودی زیربرنامه PREMIX اعمال شده‌اند و تاثیر آن بر دمای بیشینه شعله و تشکیل آلاینده  $NO_x$  بررسی شده است. البته در خروجی نرم‌افزار، غلظت‌های  $NO$  و  $NO_2$  به تفکیک مشخص‌اند اما به دلیل اینکه مقادیر غلظت  $NO_2$  در مقایسه با  $NO$  بسیار ناچیز است از آن چشم‌پوشی شده است.

## نتایج و بحث

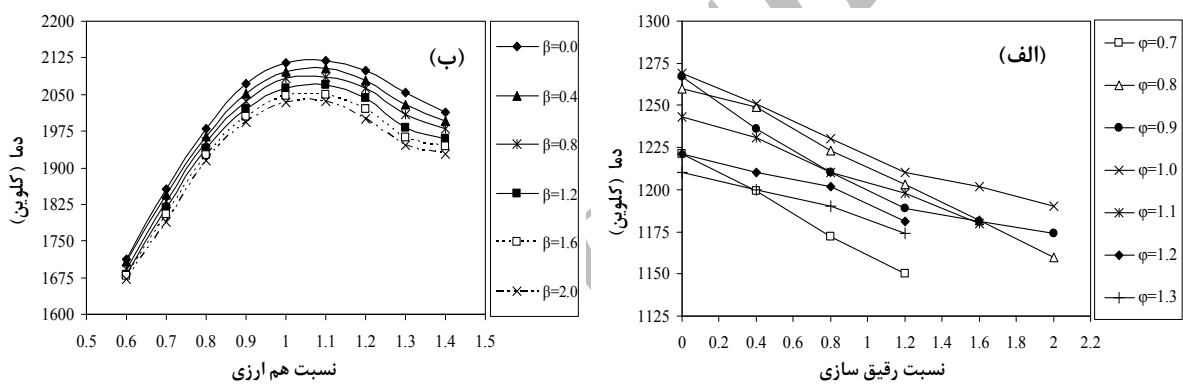
نتایج آزمایشگاهی و شبیه‌سازی برای نسبت‌های همارزی  $7/0$  تا  $1/3$  و نسبت‌های رقیق‌سازی ( $\beta$ )، صفر تا  $۲/۰$  برای رقیق‌ساز  $N_2$  به دست آمده است. برای محاسبه نسبت رقیق‌سازی ( $\beta$ )، از رابطه (۹) استفاده شده است:

$$\beta = \frac{n_{\text{Diluent}}}{n_{\text{Fuel}}} \quad (9)$$

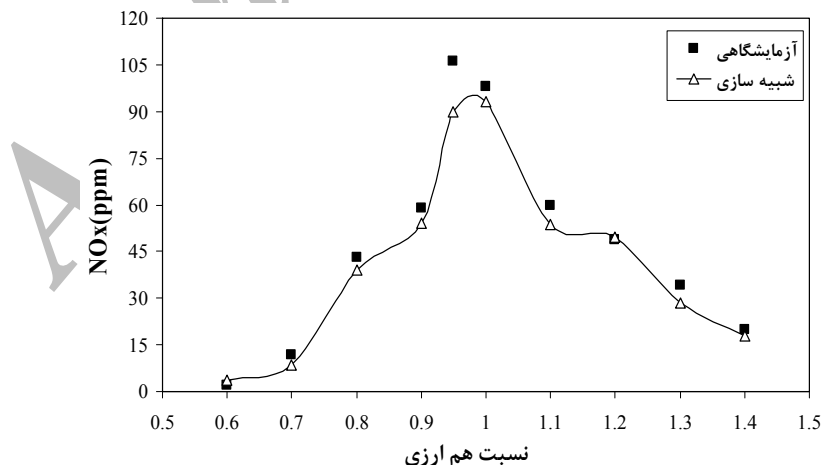
$n_{\text{Fuel}}$ ، تعداد مول‌های رقیق‌کننده و  $n_{\text{Diluent}}$ ، تعداد مول‌های سوخت (متان) هستند. البته در برخی مقالات، نسبت رقیق‌سازی به صورت تعداد مول‌های رقیق‌کننده به مجموع تعداد مول‌های رقیق‌کننده و سوخت و در برخی دیگر به صورت تعداد مول‌های رقیق‌کننده به مجموع تعداد مول‌های رقیق‌کننده و هوای ورودی است [۳۰].

با افزودن رقیق‌ساز  $N_2$  به محفظه احتراق در نسبت‌های مختلف همارزی، به مقایسه و بررسی آن‌ها با حالت‌های بدون رقیق‌سازی پرداخته شده است. شکل (۴)، تاثیر رقیق‌سازی با  $N_2$  بر دمای بیشینه شعله و همچنین دمای محفوظه احتراق که در فاصله ۶۰۰ میلی‌متر از ابتدای محفظه احتراق اندازه‌گیری شده است را در محدوده‌ای از نسبت‌های همارزی نشان می‌دهد. با توجه به اینکه از ترموموپل نوع K استفاده شده و این نوع ترموموپل قابلیت اندازه‌گیری دما را تا ۱۳۰۰ درجه کلوین دارد، دمایها در فاصله ۶۰۰ میلی‌متر از ابتدای محفظه احتراق اندازه‌گیری شده‌اند. همان‌طور که در شکل (۴-الف) دیده می‌شود با

افزودن رقیق‌ساز  $N_2$  به محفظه احتراق، دمای محفظه احتراق کاهش می‌یابد. شکل (۴-ب) نیز نشان می‌دهد که با تزریق رقیق‌ساز  $N_2$  به محفظه احتراق، دمای بیشینه شعله نیز کاهش یافته است. به علاوه دیده می‌شود که در نسبت هم‌ارزی ۱، (حالت استوکیومتری)، دمای محفظه احتراق در فاصله ۶۰۰ میلی‌متر از ابتدای محفظه احتراق و همچنین دمای بیشینه شعله نسبت به سایر نسبت‌های هم‌ارزی بیشتر است که به دلیل احتراق در حالت استوکیومتری و حضور اکسیژن لازم جهت اکسیداسیون کامل سوخت است. به دلیل حضور گاز  $N_2$  موجود در مخلوط ورودی به محفظه احتراق، ظرفیت گرمایی مخلوط افزایش می‌یابد که موجب جذب گرمای ناشی از احتراق و در نتیجه کاهش دمای شعله و محفظه احتراق خواهد شد. شکستن پیوند سه‌گانه مولکول نیتروژن واکنشی گرمائیر است که گرمای مورد نیاز جهت شکستن این پیوند سه‌گانه را از شعله دریافت کرده و سبب کاهش دمای شعله خواهد شد. هرچند غلظت نیتروژن افزایش می‌یابد اما چون دما کاهش یافته و طبق رابطه (۲) دما به صورت نمایی ظاهر شده است لذا کاهش انتشار آلاینده  $NO_x$  را در پی دارد. شکل (۵)، نتایج آزمایشگاهی و شبیه‌سازی تاثیر نسبت هم‌ارزی بر میزان انتشار آلاینده  $NO_x$  در شعله پیش‌آمیخته متان-هوا بدون رقیق‌سازی را نشان می‌دهد.



شکل ۴- تاثیر رقیق‌ساز  $N_2$  بر دما، (الف) دمای محفظه احتراق در فاصله ۶۰۰ میلی‌متر از ابتدای محفوظه احتراق (آزمایشگاهی)،  
(ب) دمای بیشینه شعله (شبیه‌سازی)

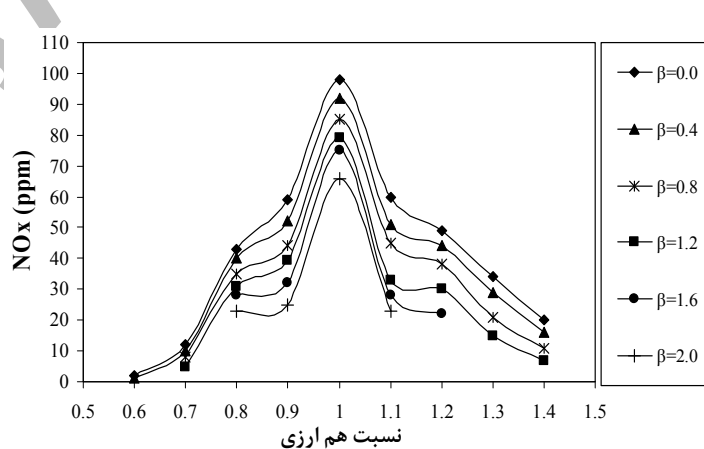


شکل ۵- تاثیر نسبت هم‌ارزی بر انتشار  $NO_x$  و مقایسه نتایج آزمایشگاهی و شبیه‌سازی بدون رقیق‌سازی

همان‌طور که ملاحظه می‌شود با افزایش نسبت هم‌ارزی از  $6/0$  تا  $6/6$  به حالت استوکیومتری، یعنی نسبت هم‌ارزی  $0/95$ ، میزان انتشار  $NO_x$  روندی صعودی را طی می‌کند و بعد از این مقدار بیشینه، با ورود به ناحیه پرسوخت با افزایش

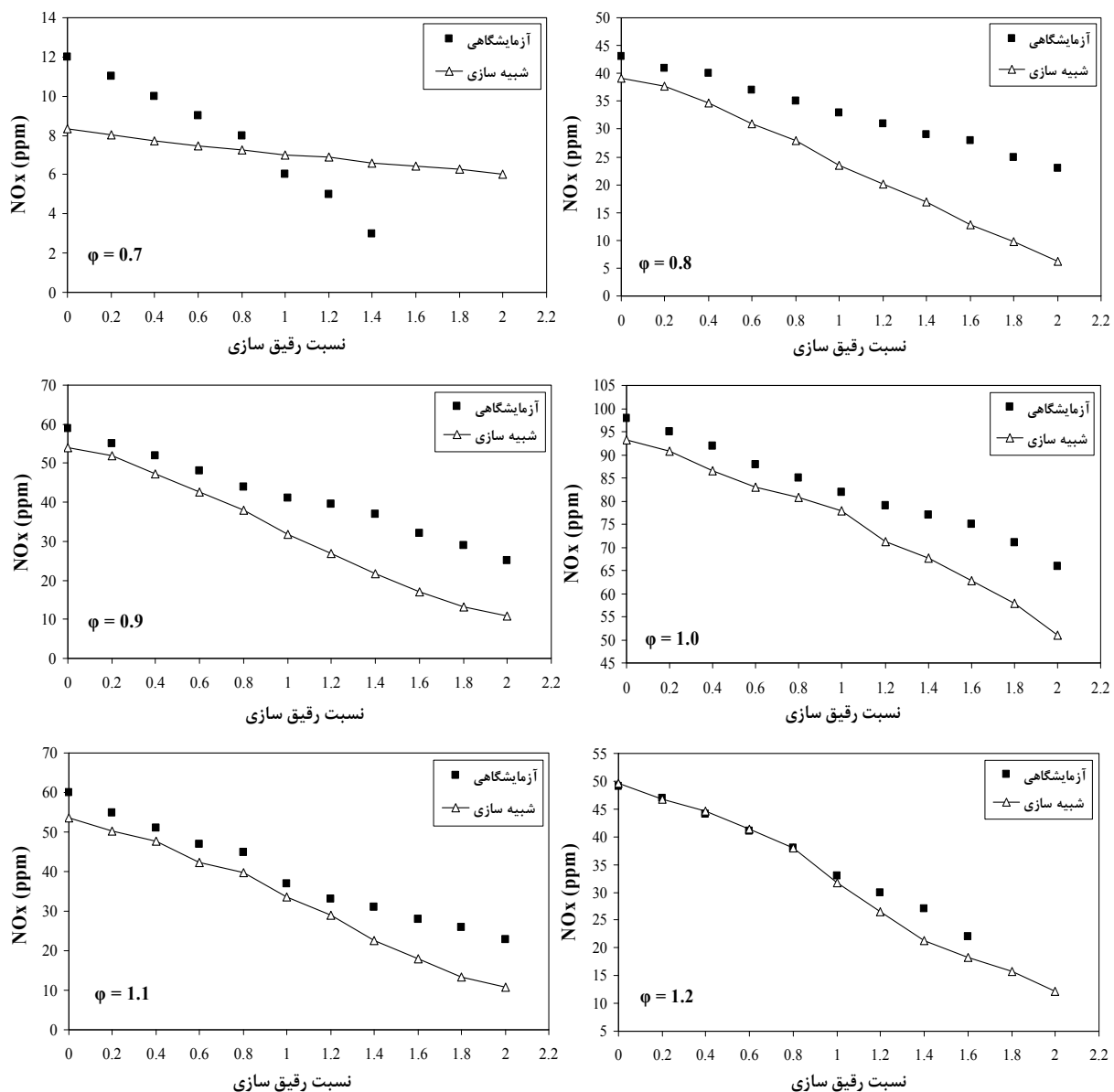
نسبت همارزی، میزان انتشار  $\text{NO}_x$  کاهش پیدا می‌کند. دلیل این تغییر در میزان انتشار  $\text{NO}_x$ ، دمای محفظه احتراق و غلظت اکسیژن در مخلوط پیش‌آمیخته ورودی (در ناحیه رقیق‌سوز، ۰/۰۱ تا ۰/۱) است. اگرچه کسر مولی اکسیژن کم می‌شود اما چون دما زیاد می‌شود،  $\text{NO}_x$  افزایش می‌یابد و همچنین کاهش زمان اقامت به دلیل افزایش سرعت ورودی است. از آنجا که دما در معادله تشکیل NO گرمایی به صورت نمایی ظاهر می‌شود، مهم‌ترین متغیر در انتشار  $\text{NO}_x$  است [۱۴]. در ناحیه رقیق‌سوز با افزایش نسبت همارزی، غلظت اکسیژن و نیتروژن در مخلوط پیش‌آمیخته ورودی کاهش می‌یابد اما احتراق به سمت حالت استوکیومتری هدایت می‌شود که عاملی موثر در افزایش دمای بیشینه شعله است. همچنین در ناحیه رقیق‌سوز به دلیل پایین بودن دمای شعله، اکسیداسیون نیتروژن موجود به کندی صورت می‌پذیرد، درنتیجه افزایش دما سبب افزایش میزان انتشار  $\text{NO}_x$  می‌شود. در نسبت همارزی ۹۵/۰، میزان انتشار آلاینده  $\text{NO}_x$  به بیشترین مقدار خود می‌رسد. با حرکت از حالت استوکیومتری به سمت ناحیه پرسخت انتشار  $\text{NO}_x$  کاهش می‌یابد که به دلیل کاهش در غلظت اکسیژن و نیتروژن موجود در مخلوط پیش‌آمیخته و همچنین کاهش دمای محفظه احتراق است.

در شکل (۶) نتایج آزمایشگاهی غلظت  $\text{NO}_x$  بر حسب نسبت همارزی برای نسبت‌های رقیق‌سازی مختلف در شعله پیش‌آمیخته متان - هوا ارائه شده است. حضور رقیق‌کننده سبب افزایش ظرفیت گرمایی مخلوط و در نتیجه کاهش دمای شعله می‌شود و از آنجا که اصلی‌ترین عامل در تشکیل آلاینده  $\text{NO}$  (گرمایی) دماست، با کاهش دمای محفظه احتراق میزان انتشار آلاینده  $\text{NO}_x$  نیز کاهش می‌یابد. تمامی عواملی که سبب کاهش دمای بیشینه شعله و در نهایت کاهش دمای محفظه احتراق می‌شوند عواملی موثر بر کاهش انتشار  $\text{NO}_x$  محاسب می‌شوند. همچنین با کاهش کسر مولی اکسیژن، فشار جزئی آن نیز کاهش یافته که بر روی سینتیک بنیادی واکنش  $\text{NO}_x$  اثر گذاشته و نرخ تولید آن را کاهش می‌دهد. همان‌طور که از شکل (۶) مشاهده می‌شود، با افزایش میزان گاز رقیق‌کننده، انتشار  $\text{NO}_x$  کاهش می‌یابد. همچنین می‌توان از طریق روزنه‌هایی که بر روی بدنه کوره تعییه شده است به صورت تجربی شعله را مشاهده کرد. در نسبت همارزی ۰/۶، با نسبت رقیق‌سازی ۰/۸، و در نسبت همارزی ۷/۰، با نسبت رقیق‌سازی ۱/۶، با توجه به خاموشی شعله مقادیر آزمایشگاهی به دست نیامده است. علت این است که چون در حالت رقیق‌سوز، کسر مولی سوخت در مخلوط کم است، با افزودن رقیق‌ساز  $\text{N}_2$ ، کسر مولی سوخت در مخلوط کمتر از مقدار سوخت مورد نیاز برای شکل‌گیری احتراق بوده و شعله خاموش می‌شود. همچنین در نسبت همارزی ۲/۱، با نسبت رقیق‌سازی ۷/۱، در نسبت همارزی ۳/۱، با نسبت رقیق‌سازی ۵/۱ و در نسبت همارزی ۴/۱، با نسبت رقیق‌سازی ۴/۱، چون هوای کافی برای احتراق وجود ندارد، شعله دچار خاموشی می‌شود.



شکل ۶- تاثیر رقیق‌سازی با رقیق‌ساز  $\text{N}_2$  بر انتشار آلاینده  $\text{NO}_x$  (آزمایشگاهی)

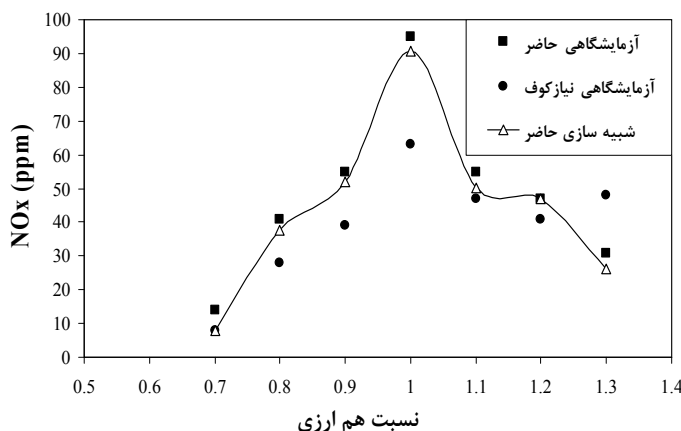
شکل (۷)، نتایج آزمایشگاهی و شبیه‌سازی غلظت  $\text{NO}_x$  بر حسب نسبت رقیق‌سازی در محدوده نسبت‌های همارزی ۰/۰ تا ۱/۲ شامل نواحی رقیق‌سوز، استوکیومتری و پرسوخت را نشان می‌دهد.



شکل ۷- تاثیر رقیق‌ساز  $\text{N}_2$  بر انتشار آلاینده  $\text{NO}_x$  در نسبت‌های همارزی مختلف و در محدوده‌ای از نسبت‌های رقیق‌سازی و مقایسه نتایج آزمایشگاهی و شبیه‌سازی

همان‌طور که در شکل (۷) دیده می‌شود، انتشار آلاینده  $\text{NO}_x$  با افزایش نسبت رقیق‌سازی کاهش یافته است. رقیق‌سازی با  $\text{N}_2$ ، به دلیل افزایش ظرفیت گرمایی مخلوط و همچنین انرژی فعال‌سازی بالای مولکول نیتروژن به دلیل داشتن پیوند سه‌گانه، افزایش سرعت مخلوط ورودی (به دلیل افزایش دبی ورودی و ثابت ماندن قطر لوله ورودی) و در نتیجه کاهش زمان اقامت از دلایل کاهش دمای شعله و در نهایت کاهش انتشار آلاینده  $\text{NO}_x$  هستند. به دلیل مشاهده عینی خاموشی شعله، در نسبت‌های همارزی ۰/۰ و ۱/۲ مقادیر آزمایشگاهی موجود نیستند.

در شکل (۸)، به مقایسه نتایج پژوهش حاضر با نتایج آزمایشگاهی نیازکوف و همکارانش [۳۱]، که بر روی تاثیر رقیق‌سازی بر انتشار آلاینده  $\text{NO}_x$  در شعله پیش‌آمیخته متان- هوای رقیق شده با  $\text{N}_2$  در محدوده نسبت‌های همارزی  $0/0.7$  تا  $1/3$ ، و با نسبت رقیق‌سازی  $\beta = 0/2$  صورت گرفته، پرداخته شده است. نیازکوف و همکارانش برای آنالیز گازهای خروجی از آنالیزور گاز مدل Fisher Rosemount Model 51A NO/NO<sub>2</sub> استفاده کرده‌اند.



شکل ۸- مقایسه تاثیر رقیق‌ساز  $\text{N}_2$  بر  $\text{NO}_x$  انتشار یافته در محدوده‌ای از نسبت‌های همارزی و نسبت رقیق‌سازی  $\beta = 0/2$  با نتایج آزمایشگاهی نیازکوف و همکارانش [۳۱]

نتایج آزمایشگاهی و شبیه‌سازی حاضر توافق بسیار خوبی را نشان می‌دهند. همچنین نتایج به دست آمده، روند خوبی را با نتایج آزمایشگاهی نیازکوف و همکارانش نشان می‌دهند. علی‌رغم اینکه تشکیل  $\text{NO}_x$  مستقل از ابعاد کوره است (در صورتی که انتشار  $\text{CO}_2$  و به ویژه  $\text{CO}$  متأثر از شکل کوره است) [۳۲]، در بعضی نسبت‌های همارزی اختلاف نتایج قابل ملاحظه است.

## نتیجه‌گیری

- در این پژوهش تاثیر رقیق‌سازی بر روی تولید  $\text{NO}_x$  به صورت آزمایشگاهی و عددی بررسی شده است. نتایج نشان می‌دهند:
- با رقیق‌سازی سوخت، دمای محفوظه احتراق به دلیل افزایش ظرفیت گرمایی مخلوط و کاهش غلظت اکسیژن، کاهش می‌یابد.
- بیشترین غلظت  $\text{NO}_x$  در شعله پیش‌آمیخته متان- هوای بدون اعمال رقیق‌سازی، در نسبت همارزی  $0/0.95$  اتفاق می‌افتد.
- نتایج آزمایشگاهی رقیق‌سازی با  $\text{N}_2$  در حالت استوکیومتری نشان می‌دهد که به ازای  $\beta = 0/2$ ، میزان انتشار آلاینده  $\text{NO}_x$  نسبت به حالت بدون رقیق‌سازی ( $\beta = 0$ )، ۳۹ درصد کاهش می‌یابد. همچنین نتایج شبیه‌سازی در  $\beta = 0/10$  نیز کاهش ۴۵ درصدی انتشار  $\text{NO}_x$  را نسبت به حالت بدون رقیق‌سازی پیش‌بینی می‌کند.
- نتایج آزمایشگاهی و شبیه‌سازی در نسبت همارزی  $1/0$  (حالت استوکیومتری) و نسبت‌های همارزی بالاتر (حالت پرسوخت)، توافق بسیار خوبی را نشان می‌دهند.
- نتایج آزمایشگاهی و شبیه‌سازی در نسبت رقیق‌سازی  $\beta = 0/2$ ، تطابق بسیار خوبی را نشان می‌دهند. همچنین نتایج به دست آمده روند خوبی را با نتایج آزمایشگاهی نیازکوف و همکارانش نشان می‌دهند.
- نتایج آزمایشگاهی رقیق‌سازی با  $\text{N}_2$  در محدوده نسبت‌های همارزی  $0/0.7$  تا  $1/3$ ، به طور متوسط ۵۶ درصد کاهش انتشار  $\text{NO}_x$  را نسبت به حالت بدون رقیق‌سازی نشان می‌دهد. همچنین نتایج شبیه‌سازی نیز به طور میانگین و در محدوده نسبت‌های همارزی ذکر شده کاهش ۶۷ درصدی انتشار  $\text{NO}_x$  را نسبت به حالت بدون رقیق‌سازی پیش‌بینی می‌کند.

## تشکر و قدردانی

بدین وسیله از دانشگاه آزاد اسلامی مشهد که با حمایت مالی امکان ساخت دستگاه آزمایشگاهی را فراهم کردند، تشکر و قدردانی می‌شود.

## مراجع

1. Bell, S. R., and Gupta, M., "Extinction of The Lean Operating Limit For Natural Gas Fueling of a Spark Ignited Engine Using Hydrogen Blending," Combustion Science and Technology, 123, pp. 23-48, 1997.
2. Schefer, R. W., Wicksall, D. M., and Aggarwal, S. K., "Combustion of Hydrogen-Enriched Methane in a Lean Premixed Swirl-Stabilized Burner," Proc. of the 29<sup>th</sup> Symposium (International) on Combustion, pp. 843-851, 2002.
3. Hill, S. C., and Smoot, L. D., "Modelling of Nitrogen Oxides Formation and Destruction in Combustion System", Prog. Energy Combustion Science, 26, pp. 417-458, 2000.
4. Zeldovich, Y. A., Oxidation of Nitrogen in Combustion, Academy of Sciences of USSR, Institute of Chemical Physics, Moscow-Leningrad, 1947.
5. Pershing, D. W., and Wendt, J. O. L., "Relative Contributions of Volatile Nitrogen and Char Nitrogen to NO<sub>x</sub> Emissions from Pulverized Coal Flames," Ind. Eng. Chem. Proc. Design and Dev., 18, NO. 60, 1979.
6. Ren, J. Y., Qin, W., Egolfopoulos, F. N., and Tsotsis, T. T., "Strain-Rate Effects on Hydrogen-Enhanced Lean Premixed Combustion," Combustion and Flame, 124, pp. 717-720, 2001.
7. Rortveit, G. J., Zepter, K., Skreberg, O., Fossum, M., and Hustad, J. E., "A Comparision of Low-NO<sub>x</sub> Burners For Combustion of Methane and Hydrogen Mixtures," Proc. of the Combustion Institute, 29, pp. 1123-1129, 2002.
8. Ghoniem, A. F., Annaswamy, A., Park, S., and Sobhani, Z. C., "Stability And Emissions Control Using Air Injection And H<sub>2</sub> Addition in Premixed Combustion," Proc. of the Combustion Institute, 30, NO. 2, pp. 1765-1773, 2005.
9. Yamaoka, I., and Tsuji, H., "Anomalous Behavior of Methane-Air and Methane-Hydrogen-Air Flames Diluted with Nitrogen in a Stagnation Flow," Combustion Inst., Pittsburgh, pp. 145-152, 1992.
10. Wierzba, I., and Ale, B. B., "Rich Flammability Limits of Fuel Mixtures Involving Hydrogen at Elevated Temperatures," International Journal of Hydrogen Energy, 25, pp. 75-80, 2000.
11. Jackson, G. S., Sai, R., Plaia, J. M., Boggs, C. M., and Kiger, K. T., "Influence of H<sub>2</sub> on Response of Lean Premixed CH<sub>4</sub> Flames to High Strained Flows," Combustion and Flame, 132, pp. 503-511, 2003.
12. Liuzzo, G., Verdone, N., and Bravi, M., "The Benefits of Flue Gas Recirculation in Waste Incineration," waste management, 27, pp. 106-116, 2007.
13. Warnats, J., Mass, U., and Dibble, R. W., Combustion, Springer, 2000.
14. Lazic, L., Varga, A., and Kizek, J., "An Experimental Study of the Influence of FGR on NO<sub>x</sub> Formation," Material in Technology, 38, pp. 31-38, 2004.
15. Littlejohn, D., Majeski A. J., Tonse, S., and Castaldini, C., "Laboratory Investigation of an Ultralow NO<sub>x</sub> Premixed Combustion Concept For Industrial Boilers," Proc. of The Combustion Institute, 29, pp. 1115-1121, 2002.
16. Ho keun kim, and Yongomo kim, "NO Reduction in 0.03-0.2 MW Oxy-Fuel Combustor using Flue Gas Recirculation Technology," Proceedings of the Combustion Institute, 31, pp. 3377-3387, 2007.
17. Cho, E. S. and Chung, S. H., "Characteristics of NO<sub>x</sub> Emission with Flue Gas Dilution in Air and Fuel Sides," KSME 12, pp. 2303-2309, 2004.
18. Dally, B. B., Riesmeier, E., and Peters, N., "Effect of Fuel Mixture on Moderate and Intense Low Oxygen Dilution Combustion," Combustion and Flame, 137, pp. 418-431, 2004.
19. Salvador, S., Kara, Y., and Commandre, J. M., "Reduction of NO Emissions from a VOC Recuperative Incinerator by Dilution of the Fuel Supply," Applied Thermal Engineering, 24, pp. 245-254, 2004.
20. Cho Eun-Seong, Chung Suk Ho, "Numerical Study on NO<sub>x</sub> Emission with Flue Gas Dilution in Air and Fuel Sides," Journal of Mechanical Science and Technology (KSME Int. J.), 19, No. 6, pp. 1358-1365, 2005.
21. Giles, D. E., Som, S., and Aggarwal, S. K. "NO<sub>x</sub> Emission Characteristics of Counterflow Syngas Diffusion Flames with Airstream Dilution," Fuel, 85, pp. 1729-1742, 2006.
22. Prathap, C., Ray, A., and Ravi, M. R., "Investigation of Nitrogen Dilution Effects on the Laminar Burning Velocity and Flame Stability of Syngas Fuel at Atmospheric Condition," Combustion and Flame, 155, pp. 145-160, 2008.
23. Kee, R. J., Rupley, F. M., and Miller, J. A., "CHEMKIN II: A Fortran Chemical Kinetics Package for the Analysis of Gas Phase Chemical Kinetics," Sandia National Laboratories Report No, SAND 89-8009, 1989.
24. Deuflhard, P., "Newton Methods for Nonlinear Problems. Affine Invariance and Adaptive Algorithms," Computational Mathematics, 35, Springer, 2004.
25. Bowman, C. T., Davidson, D. F. H., Grader, W. C., Lissanski, V. Jr., Smith, G. P., Golden, D. M., Frenklach, M., and Goldenberg, M., <http://www.me.berkeley.edu/gri-mech>
26. Deuflhard, P., and Bornemann, F., Scientific Computing with Ordinary Differential Equations, Texts in Applied Mathematics, 42, Springer, 2002.
27. Peters, N., "Flame Calculation with Reduced Mechanism," Combustion Science and Technology, 34, pp. 98-112, 1983.
28. Turns, S. R., An Introduction to Combustion: Concepts and Applications, Mc GrawHill, 2000.

29. Kee, R. J., Grear, J. F., Smooke, M. D., and Miller, J. A., "A Fortran Program for Modeling Steady Laminar One - Dimensional Premixed Flames," Sandia Technical Report SAND 85, 8240, 1985.
30. Cecile Cohe, Christian Chauveau, Iskender Gokalp, and Dilek Funda Kurtulus, "CO<sub>2</sub> Addition and Pressure Effects on Laminar and Turbulent Lean Premixed CH<sub>4</sub>-air Flames," Proceedings of the Combustion Institute, 32 , pp. 1803-1810, 2009.
31. Knyazkov, D. A., Shmakov, A. G., Dyakov, I., Korobeinichev, O. P., De Ruyck, J., and Konnov, A. A., "Formation and Destruction of Nitric Oxide in Methane Flames Doped with NO at Atmospheric Pressure," Proceedings of the Combustion Institute, 32, pp. 327-334, 2009.
32. Cheng, R. K., Yegian, D. T., Miyasato, M. M., Samuels, G. S., Benson, C. E., Pellzzari, R. and Loftus, P., "Scaling and Development of Low-Swirl Burners for Low Emission Furnaces and Boilers," Proceeding of Combustion Institute, 28, pp. 1305-1313, 2000.

## English Abstract

### Experimental and Numerical Study of N<sub>2</sub> Dilution on NO<sub>x</sub> Emission in Methane-Air Premixed Flames

M. Mahmoodi Arya and H. Momahedi Heravi

Department of Mechanical Engineering, Faculty of Engineering, Islamic Azad University-Mashhad Branch

Dilution is one of the ways to reduce maximum temperature in the combustion chamber, which in turn leads to a reduction in the formation of thermal NO. The methods to control NO<sub>x</sub> formation are all based on temperature control and/or reduction in oxygen concentration. In the present paper, the numerical and experimental studies aim to examine the effect of N<sub>2</sub> dilution on the formation of the pollutant NO<sub>x</sub> in the premixed flame of methane-air in the combustion chamber. The experimental results were obtained by designing a furnace with a cylindrical combustion chamber which was asymmetrical. The experiments were conducted with the equivalence ratios 0.7 to 1.3 and various dilution ratios . Combustion simulation was studied using the Premix code of the CHEMKIN II version and various N<sub>2</sub> dilution ratios within a range of equivalence ratios. The experimental and simulation results indicated that by increasing the ratio of dilution, maximum temperature of the flame and emission of the pollutant NO<sub>x</sub> from the combustion chamber decreases. The experimental and simulation results are also in good agreement and the trends of the obtained results conform with the experimental results of Knyazkov et al.

**Keywords:** NO<sub>x</sub>, Dilution, Simulation, Experimental, Premix